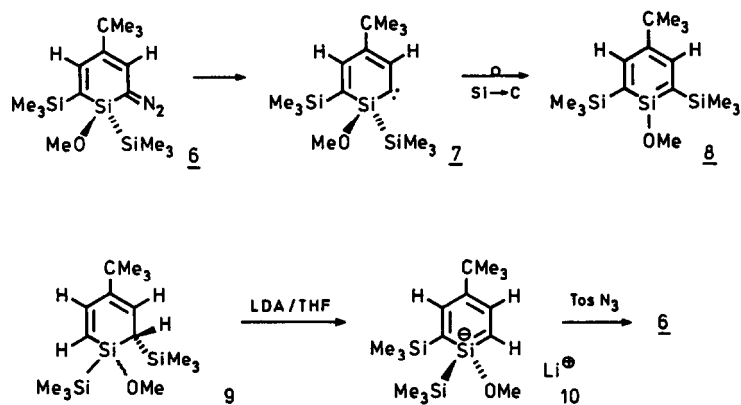
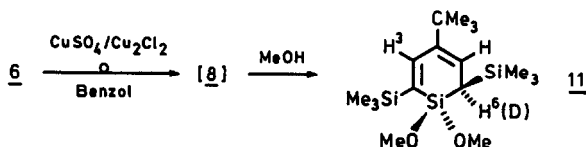


zol 8 umlagert: Das Diazosilacyclohexadien 6 ist durch Diazogruppenübertragung auf das Anion 10 des Silacyclohexadiens 9 [5] mit Tosylazid zugänglich:



6, Ausb. 10-30 % nach Chromatographie an bas. Al_2O_3 und wasserfreiem Kieselgel 60; viskoses, nicht destillierbares, tiefrotes Öl; $^1\text{H-NMR}$ (CCl_4 , 60 MHz): Me_3Si : 0.08 (s), 0.11 (s); CMe_3 : 1.05 (s); OMe : 3.10 (s); H-3 : 7.30 (d); H-5 : 6.10 (d), J (H/H) = 1.5 Hz; IR (Film), $\nu(\text{C}=\text{N}_2)$: 2030 (vs); UV (n-Hexan), λ_{max} = 370 nm; MS (70 eV): M^+ , m/z = 352 (2); $[\text{M}-\text{N}_2]^+$, 324 (12); $[\text{324}-\text{CH}_3]^+$, 309 (100); $[\text{309}-\text{CH}_2\text{O}]^+$, 279 (16).

Bei der $\text{CuSO}_4/\text{Cu}_2\text{Cl}_2$ -katalysierten Zersetzung von 6 in Benzol /MeOH (25 °C, 8 Tage) wird das Methanol-Addukt 11 des Silabenzols 8 erhalten, farbloses, viskoses Öl, Sdp. 160 °C/10⁻² Torr.



$^1\text{H-NMR}$ (CDCl_3 , 250-MHz): Me_3Si : -0.02 (s), 0.11 (s); CMe_3 : 1.06 (s); H-6 : 1.30 (d); OMe : 3.32 (s), 3.52 (s); H-3 : 7.31 (d); H-5 : 5.96 (dd), J (H-5/H-6) = 7.4 Hz, J (H-3/H-5) = 2.4 Hz. MS (70 eV), M^+ , m/z = 356 (17); $[\text{M}-\text{CH}_3]^+$, 341 (6); $[\text{M}-\text{Me}_3\text{SiOMe}]^+$, 252 (68); $[\text{252}-\text{CH}_3]^+$, 237 (100).

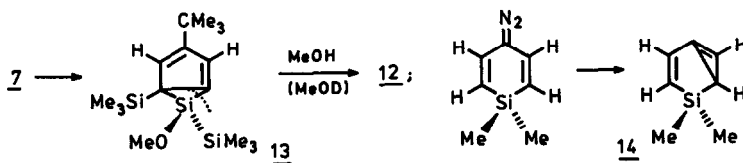
Die spektroskopischen Daten bestätigen, daß bei der durch $(i\text{-PropO})_3\text{P}^+$ CuCl katalysierten Zersetzung von 6 in MeOD/Benzol das Dihydrosilabenzol D-6-11 gebildet wird.

Bei der bei höherer Temperatur ($T > 25^{\circ}\text{C}$) durch $\text{CuSO}_4/\text{Cu}_2\text{Cl}_2$ katalysierten wie bei der photochemischen Zersetzung ($\lambda < 385\text{ nm}$, $T = -60 \rightarrow 25^{\circ}\text{C}$) von 6 in MeOH/Benzol bzw. Ether wird ein farbloses, hochviskoses Öl (Sdp. $160^{\circ}\text{C}/10^{-2}\text{Torr}$) gebildet, dem nach $^1\text{H-NMR}$, $^{13}\text{C-NMR}$ und NOE-Daten die Cyclopentadien-Struktur 12 zuzuordnen ist:



MS (70 eV), M^+ , $m/z = 356$ (9); $[\text{M}-\text{CH}_3]^+$, 341 (13); $[\text{M}-\text{SiMe}_3]^+$, 283(11); $[\text{283}-\text{OMe}]^+$, 252 (15); $[\text{252}-\text{CH}_3]^+$, 237 (32); $[\text{283}-\text{Me}_2\text{Si}(\text{OMe})_2]^+$, 163 (100). $^1\text{H-NMR}$ (250 MHz, CDCl_3); Me_3Si : -0.05 (s), -0.02 (s); Me_3C : 1.21 (s); OMe : 3.59 (s), 3.60 (s); H-1 : 6.16 (dd), H-4 : 6.50 (dd), H-3 : 6.77 (dd), $J(\text{H-3}/\text{H-4}) = 4.6\text{ Hz}$, $J(\text{H-1}/\text{H-3}) = 1.5\text{ Hz}$, $J(\text{H-3}/\text{H-4}) = 2.4\text{ Hz}$ [6].

Die Umlagerung von 6 zum Silabenzol 8 und zur Vorstufe von 12 hängt deutlich von den Zersetzungsbedingungen von 6 ab, bei $\lambda > 435\text{ nm}$ ($T = -60^{\circ}$) entstehen 11 und 12 nebeneinander (20/80). Die Bildung von 12 aus dem Carben 7 kann plausibel nur über die bicyclische Zwischenstufe 13 gedeutet werden, die der von Jones, Jr. [7] bei der Gasphasenthermolysen von 1-Diazo-4,4-dimethyl-4-silacyclohexadien in Gegenwart von Butadien postulierten Zwischenstufe 14 verwandt ist:



Ein nochmals anderes Ergebnis liefert die Photolyse von 6 in Ether in Gegenwart von 2,3-Dimethylbutadien ($\lambda > 35\text{ nm}$) bei 25°C . Dem isolierten, farblos kristallinen Produkt, Schmp. $110-112^{\circ}\text{C}$ (aus $\text{CCl}_4/\text{CH}_3\text{CN}$) kommt nach der Kristallstrukturuntersuchung Formel 17 zu:

